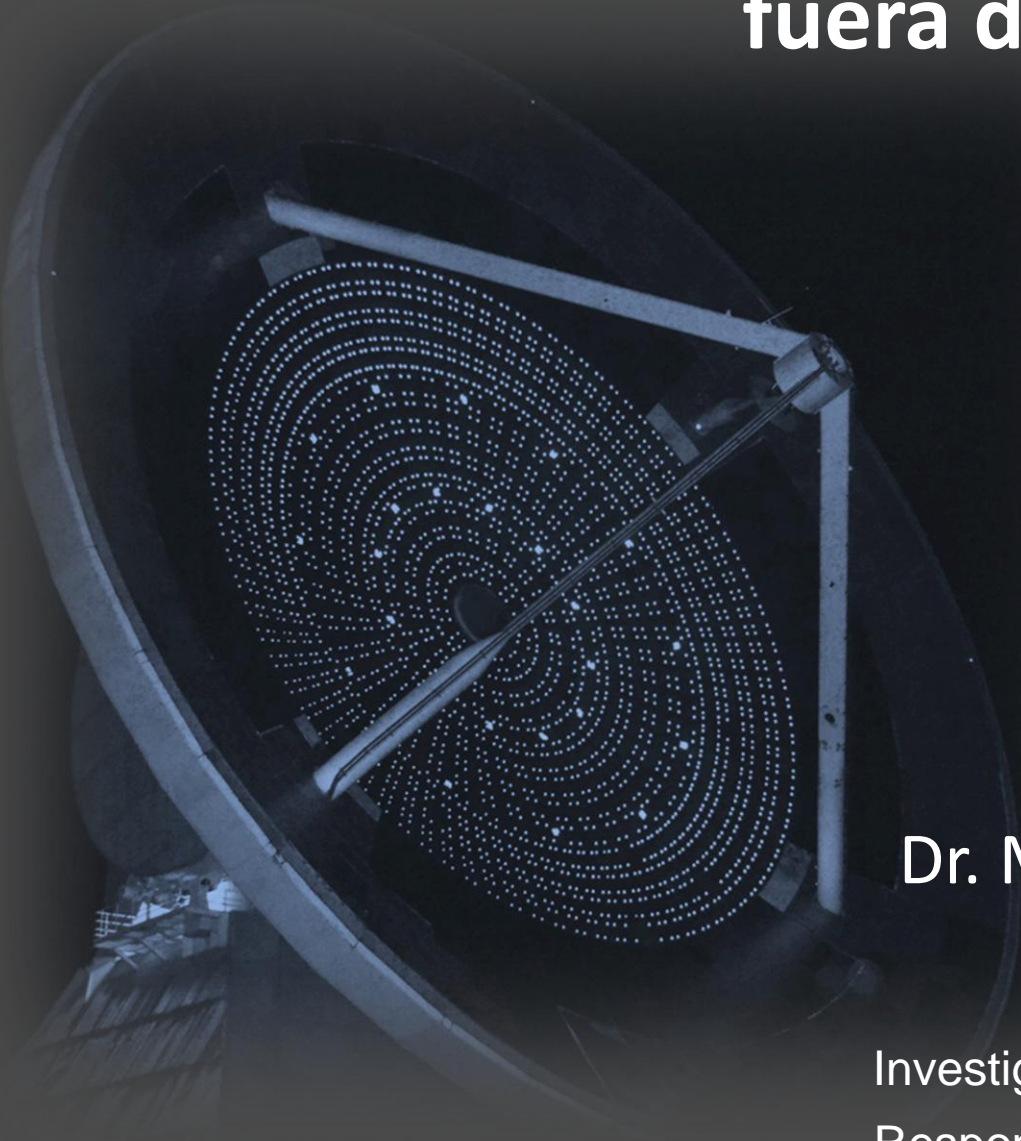


EL GTM y La búsqueda de vida fuera de la Tierra



Dr. Miguel Chávez Dagostino

Investigador Titular C - Astrofísica INAOE
Responsable Científico del GTM - México

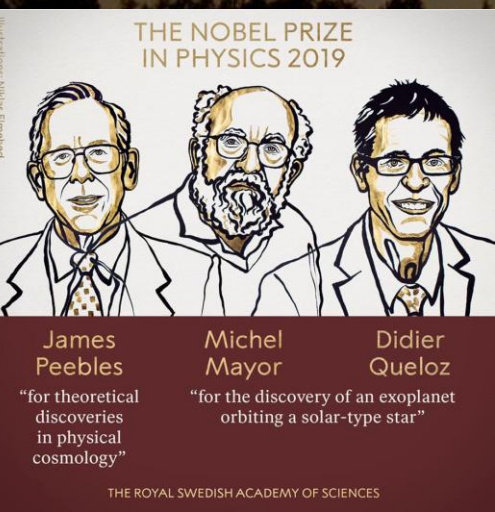
Nuestro sistema planetario: 8 planetas, 5 planetas enanos y mucho mas...



4410 planetas!

3253 sistemas planetarios múltiples

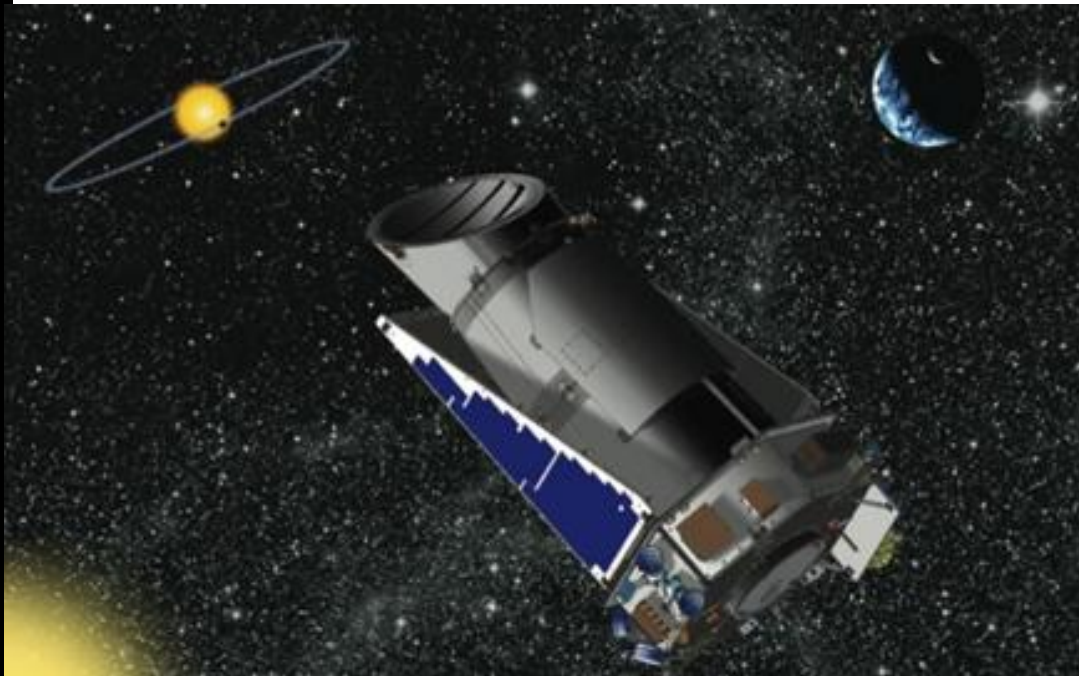
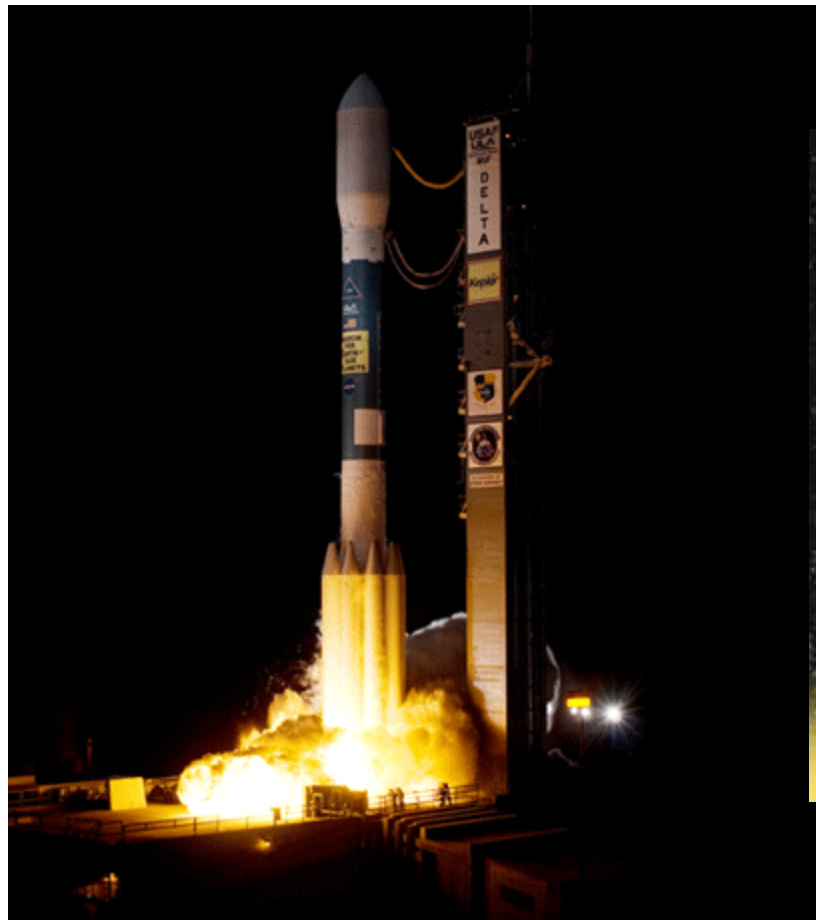
Hasta ayer!



Michel Mayor & Didier Queloz
Geneva Observatory
Premio Nobel de Física 2019

Tránsitos exoplanetarios y La misión Kepler (2009-2013, K2 continuación hasta 2018)

En búsqueda de planetas habitables

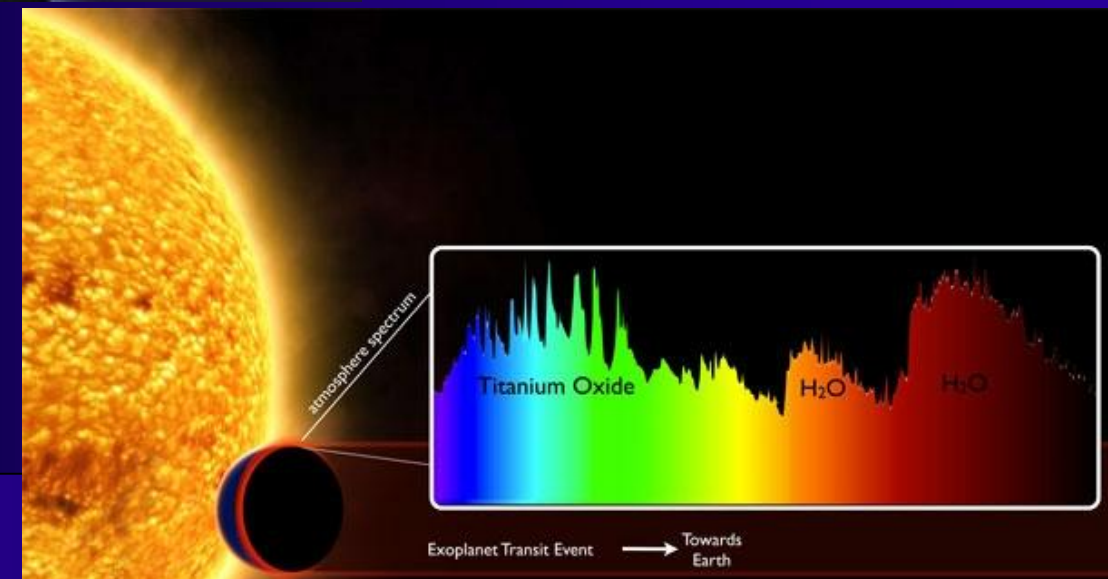
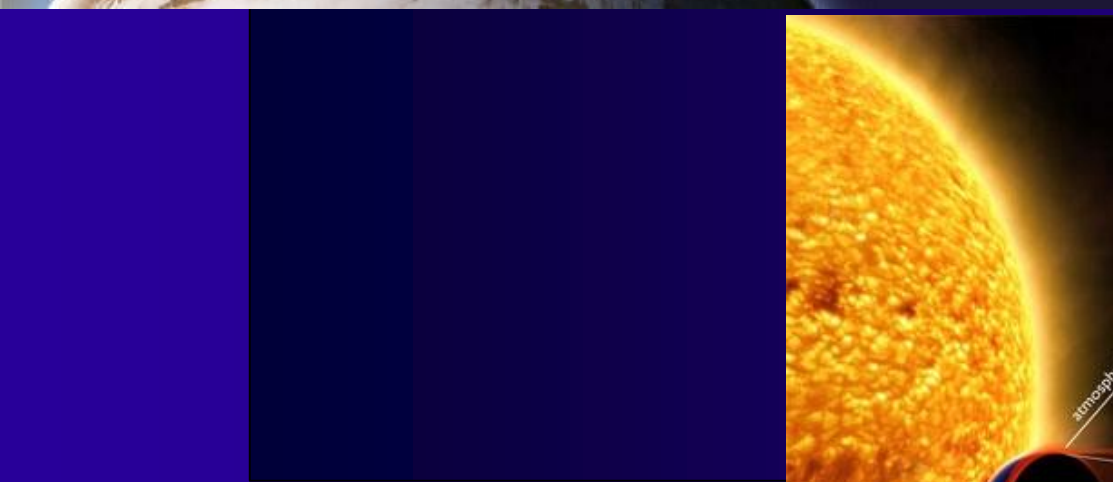
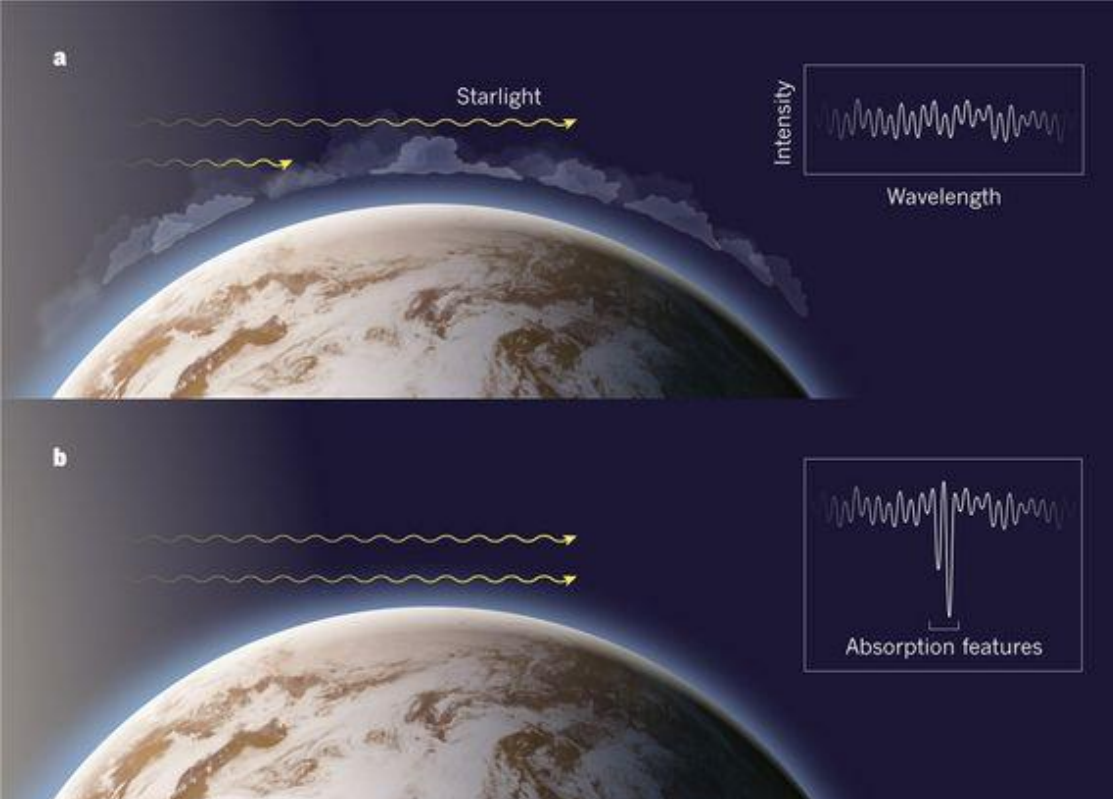


Tránsito: un planeta



PLANETQUEST
THE SEARCH FOR ANOTHER EARTH

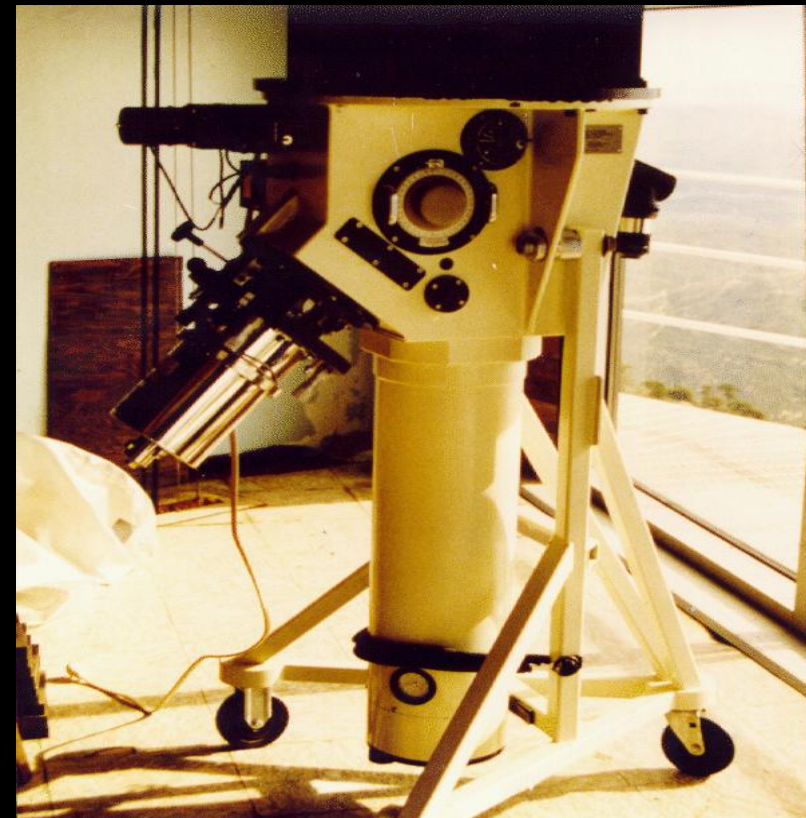
Espectroscopia de Transmisión

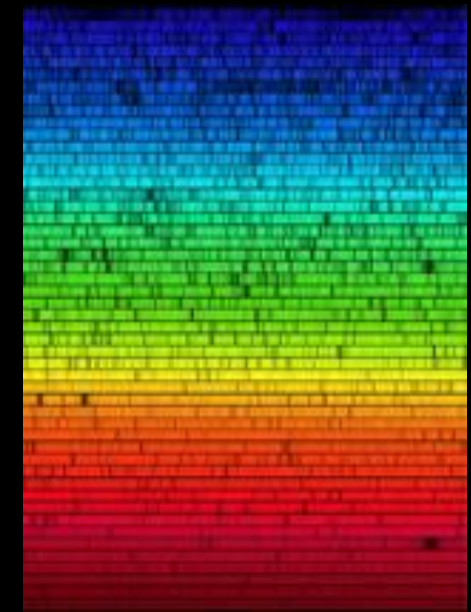
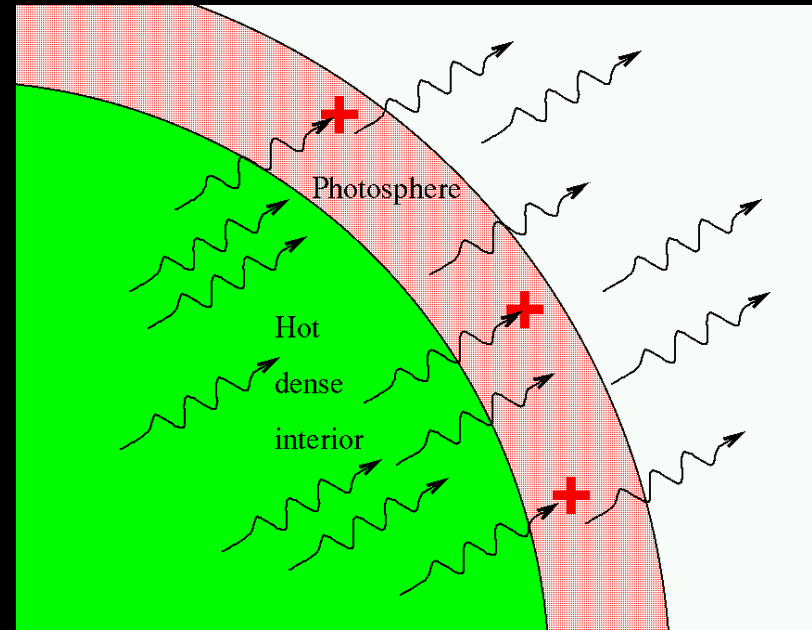


Observatorio GH operado por el INAOE en Cananea, Sonora

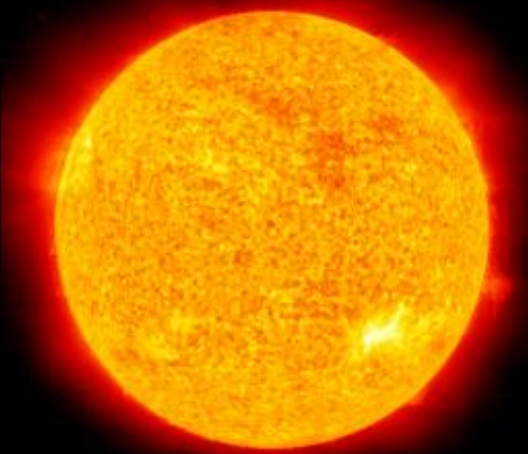


Espectroscopia





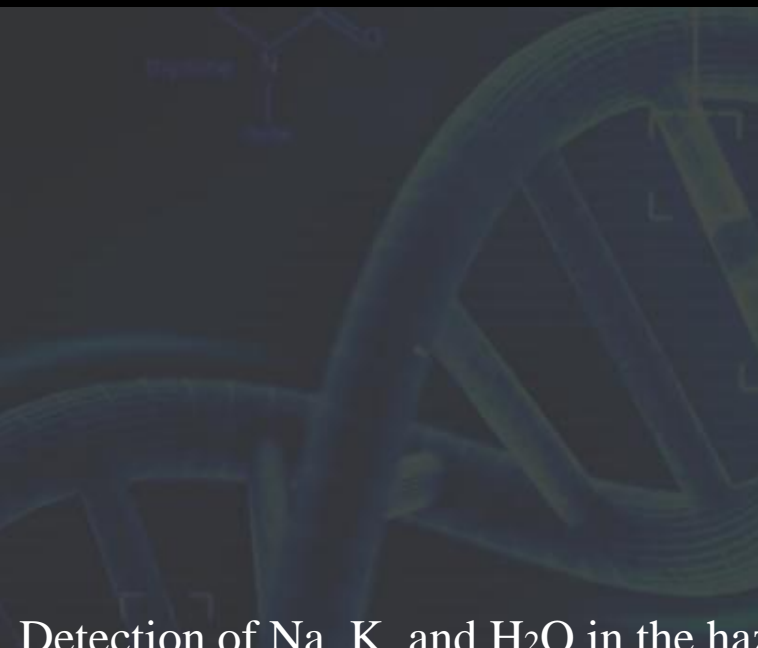
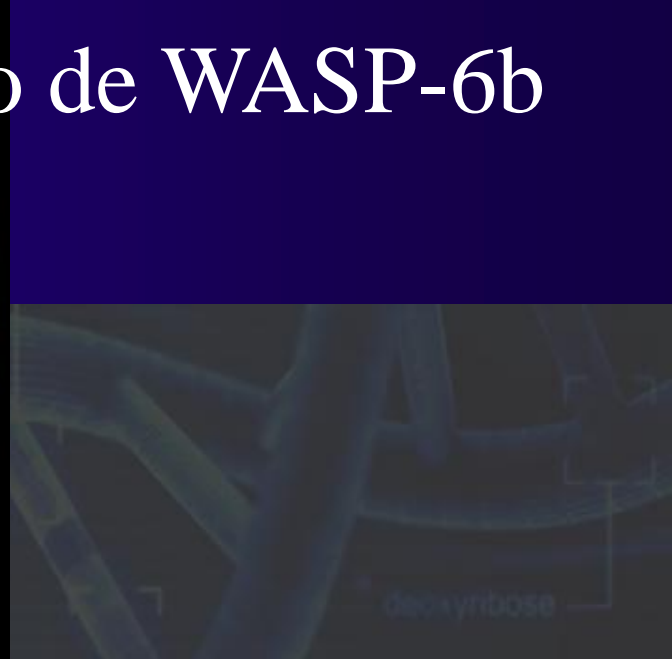
El caso de WASP-6b



WASP-6



The Sun



WASP-6b



Jupiter



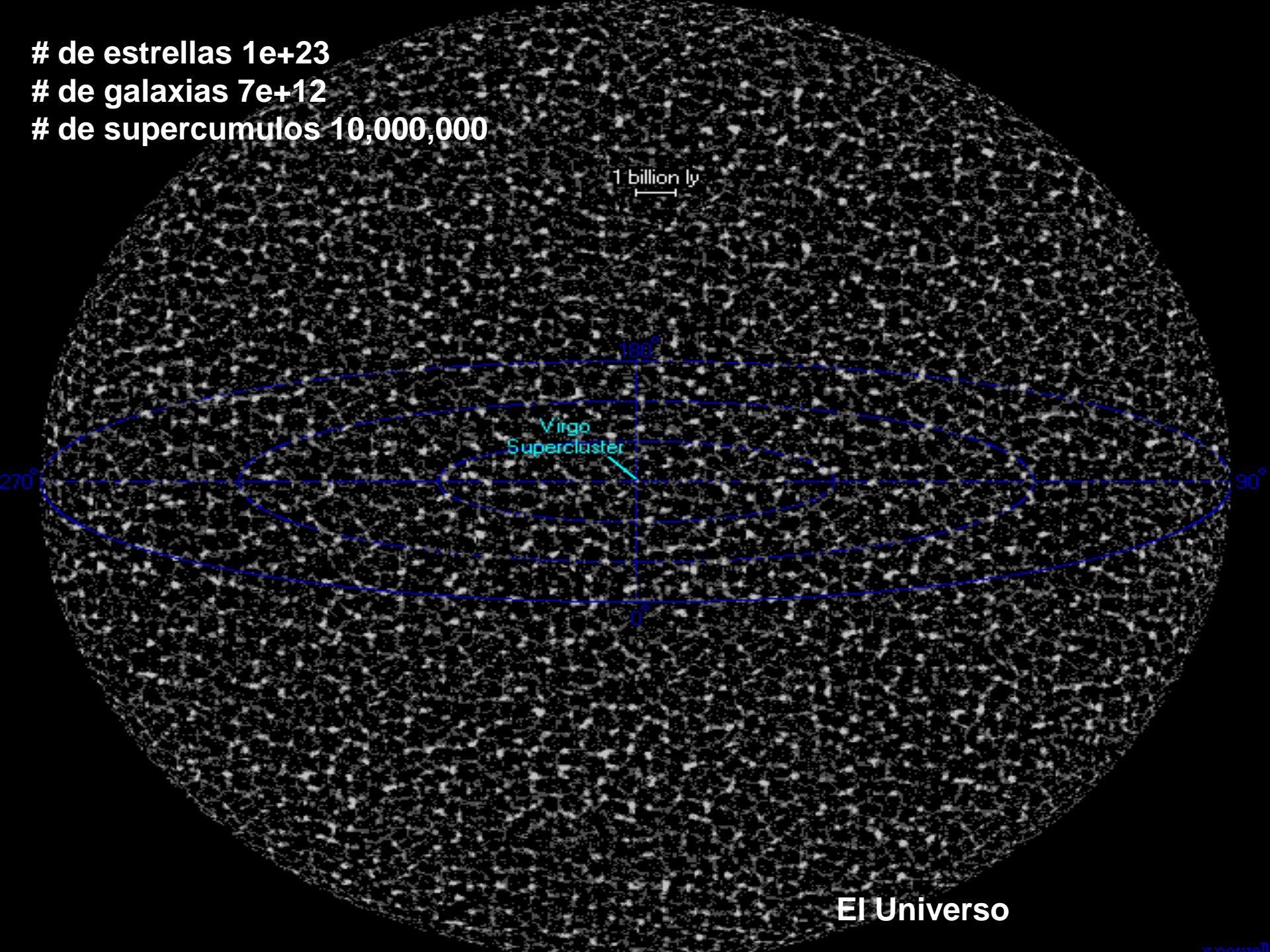
Earth

Detection of Na, K, and H₂O in the hazy atmosphere of WASP-6b
(Carter et al. MNRAS, Abril 2020)

de estrellas $1e+23$

de galaxias $7e+12$

de supercumulos 10,000,000



El Universo

¿Qué es la Astrobiología?

La **Astrobiología** es la **ciencia** que estudia el origen, evolución y distribución de la vida en el universo. Integra conocimientos de la **biología, física, química, astronomía y geología** que nos permiten entender como surgió la vida en la Tierra, cómo evolucionó, la interacción entre el planeta y los organismos vivos, los procesos que dieron lugar a la formación de nuestro planeta, los lugares en el espacio dónde puede originarse la vida y las técnicas con las que podríamos detectar la presencia de vida en otros planetas.

1953: Exobiología (Marte)  **1995: Astrobiología**

1998: Instituto de Astrobiología de la NASA

2000-2002: SMCVE  **SOMA**

ADN: El código de la vida



Tabla periódica SIN estrellas

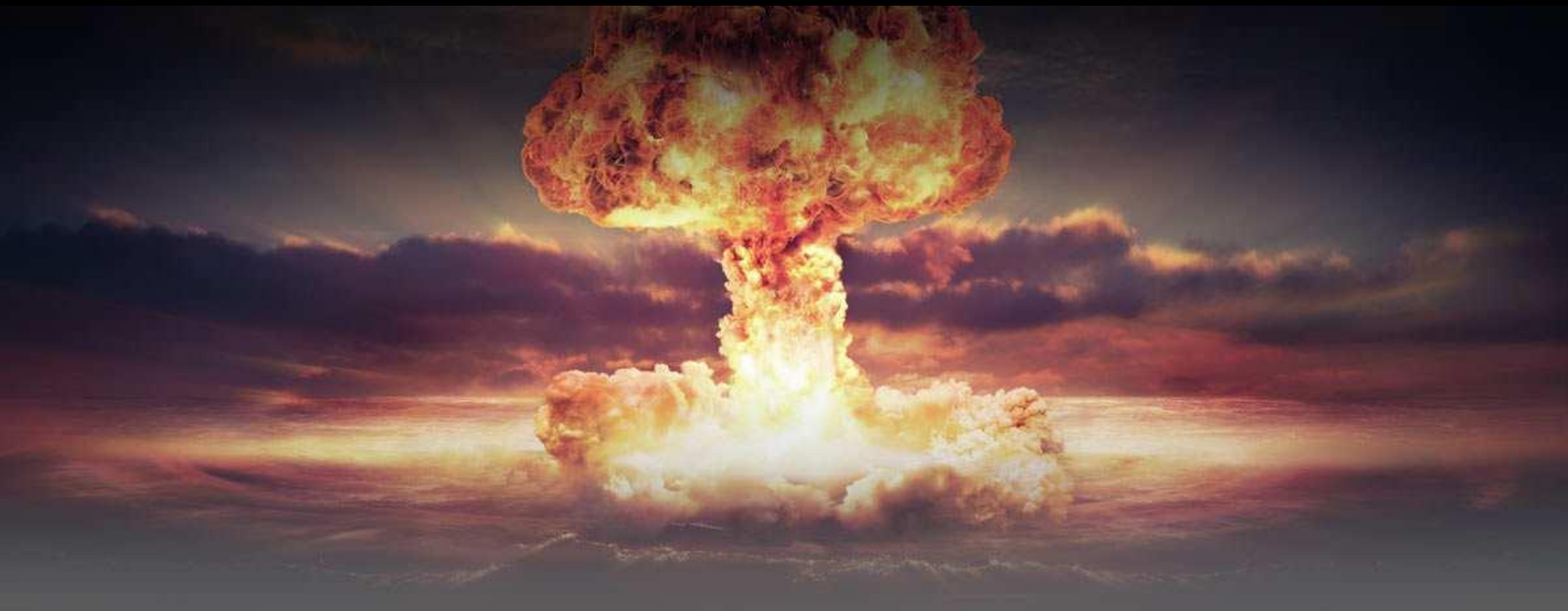
H

He

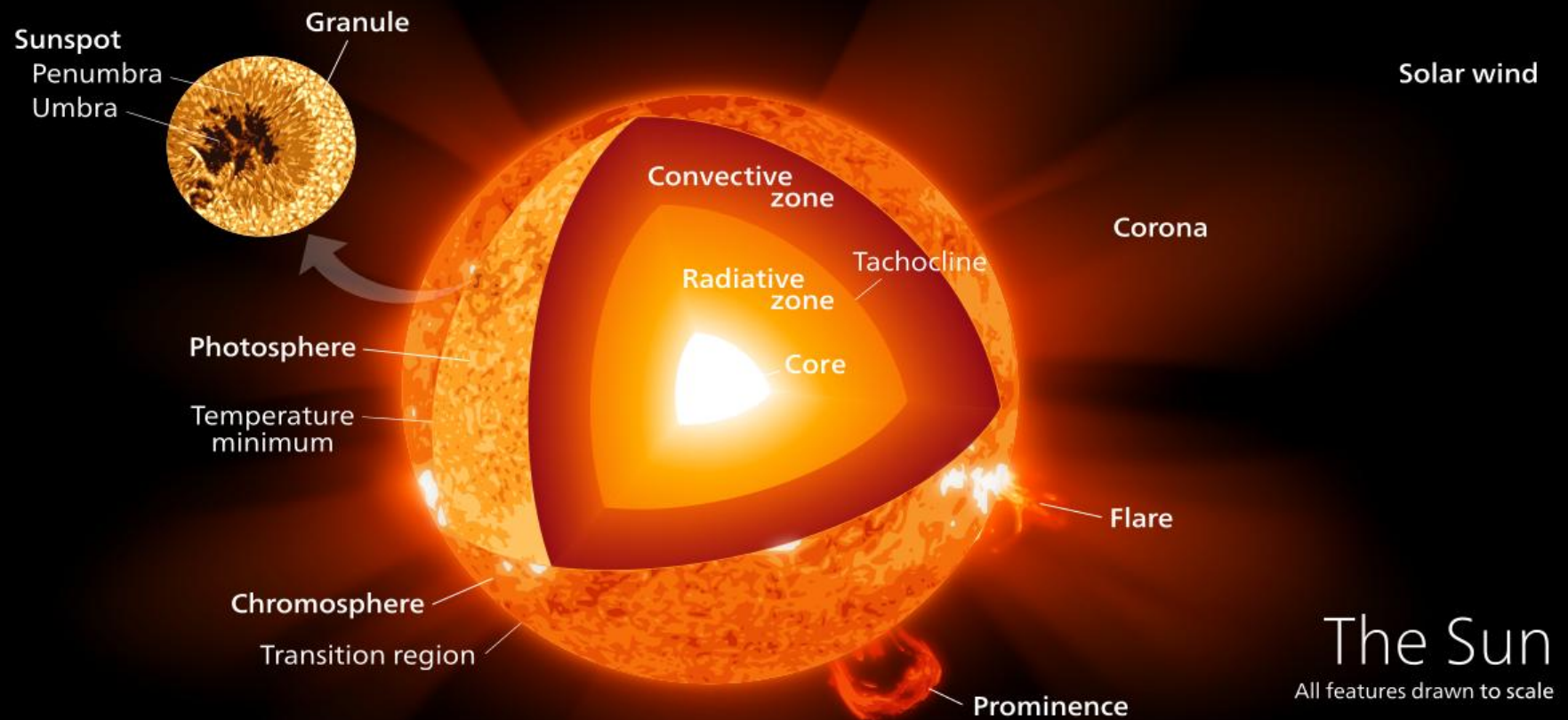
Li

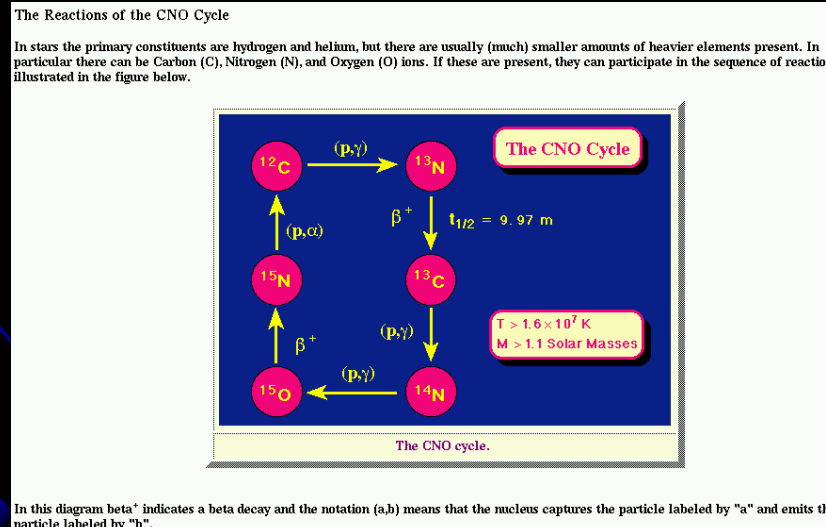
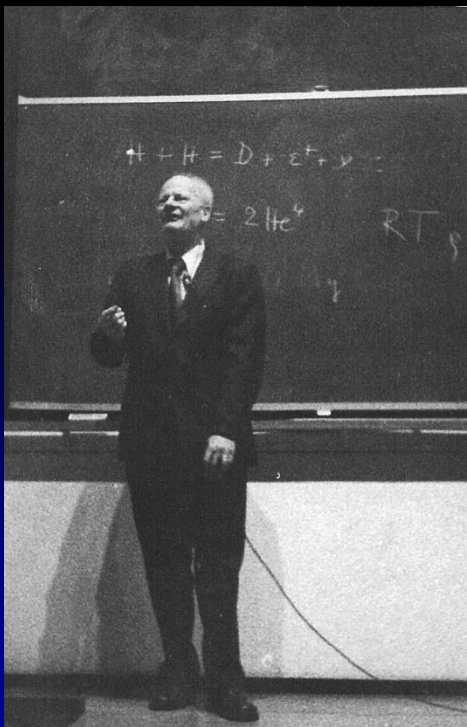
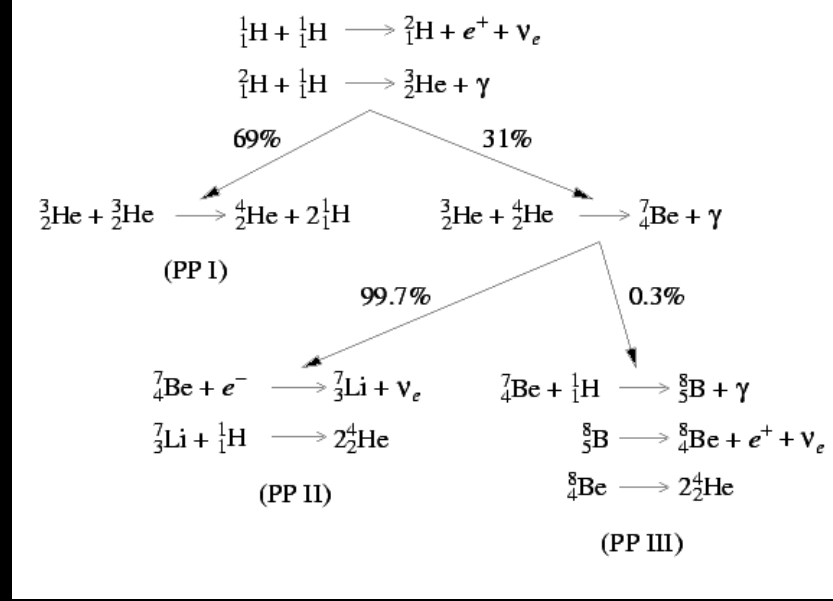
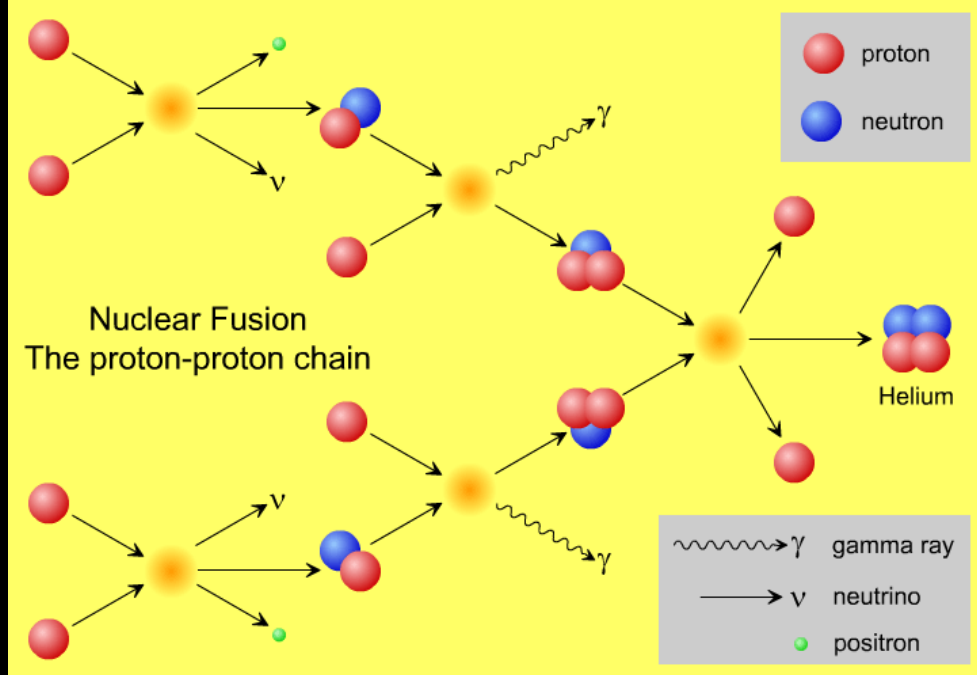
The Origin of the Solar System Elements

Energía nuclear



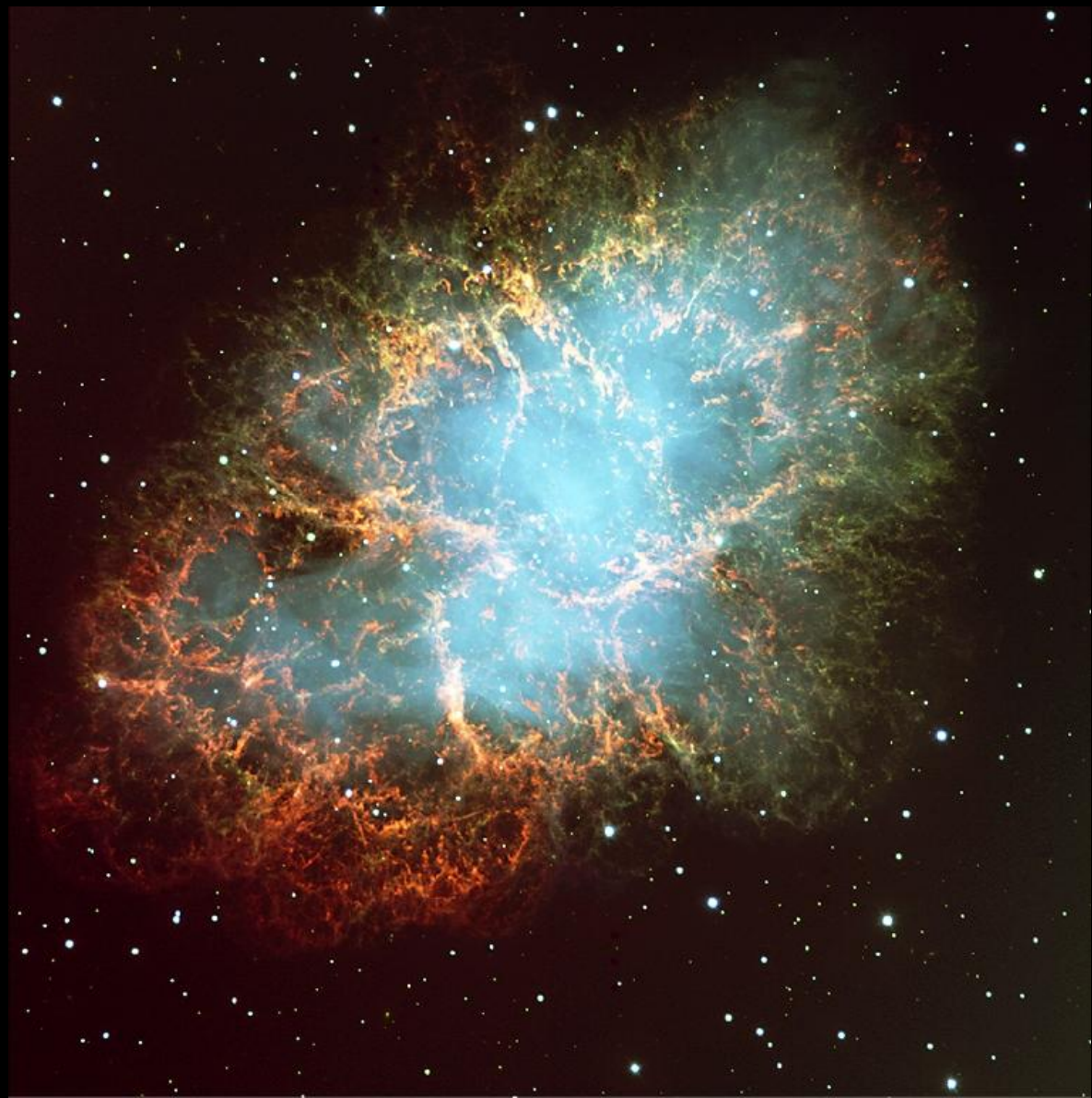
Interior solar $\sim 14,000,000$ K

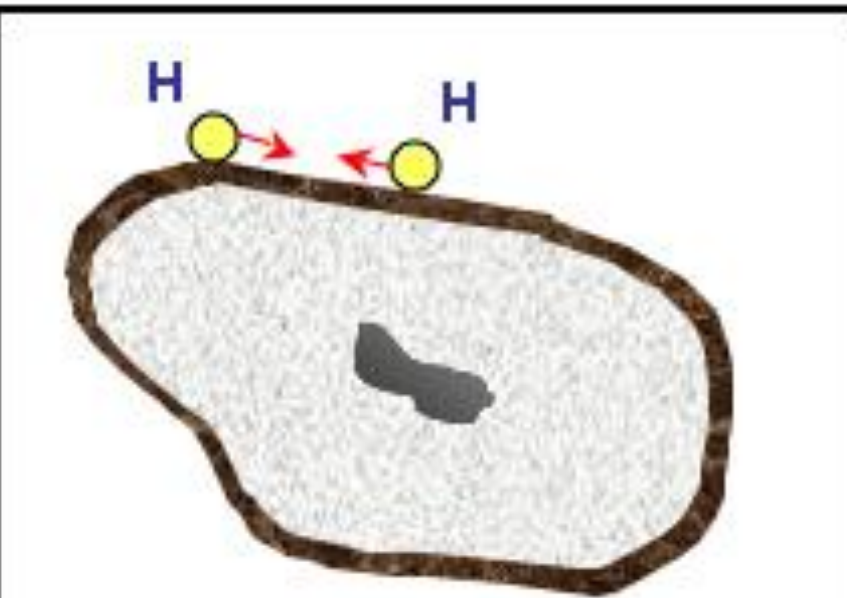




10⁻⁴³⁴ !

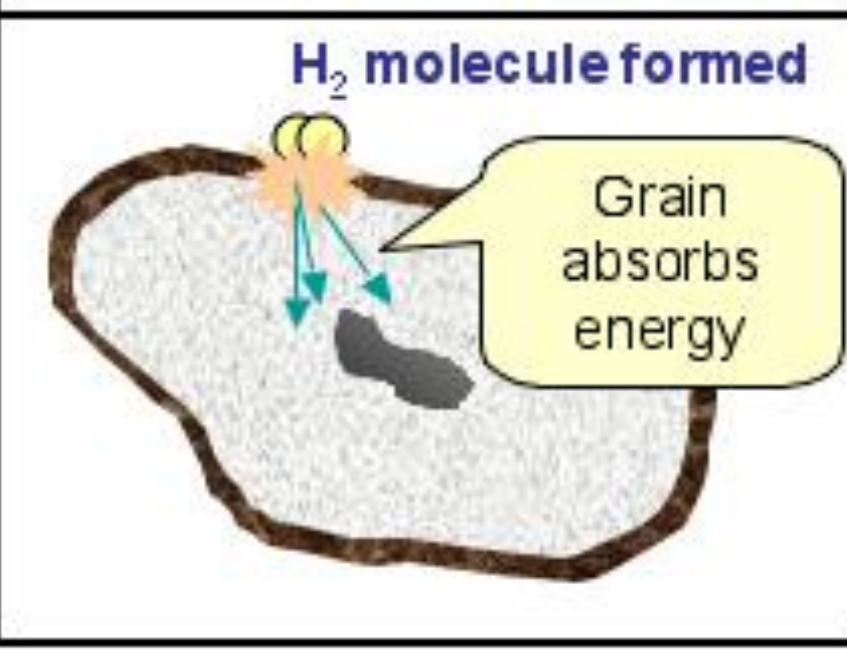
**G. Gamow
y el efecto tunel!**

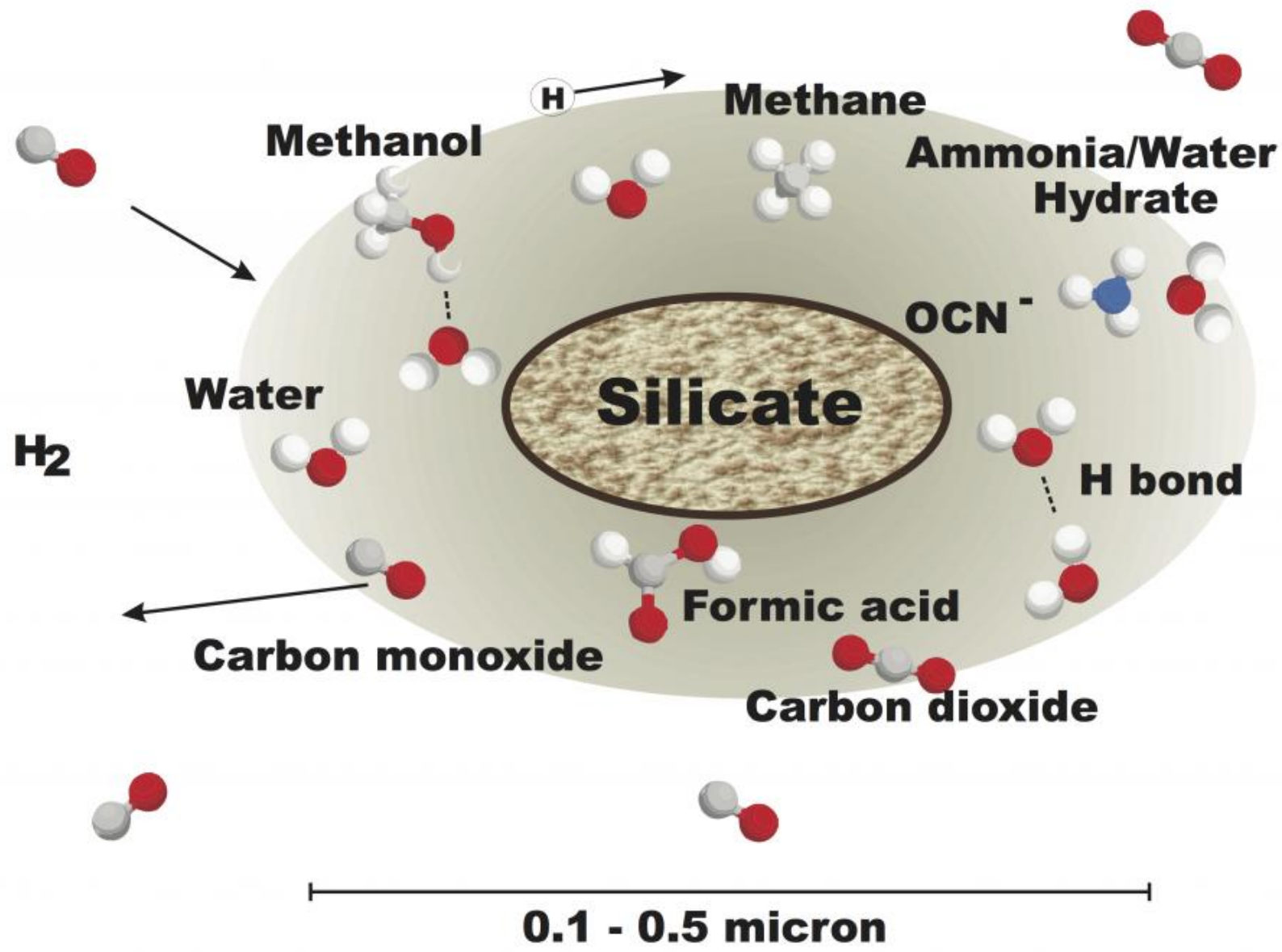




H_2 molecule formed

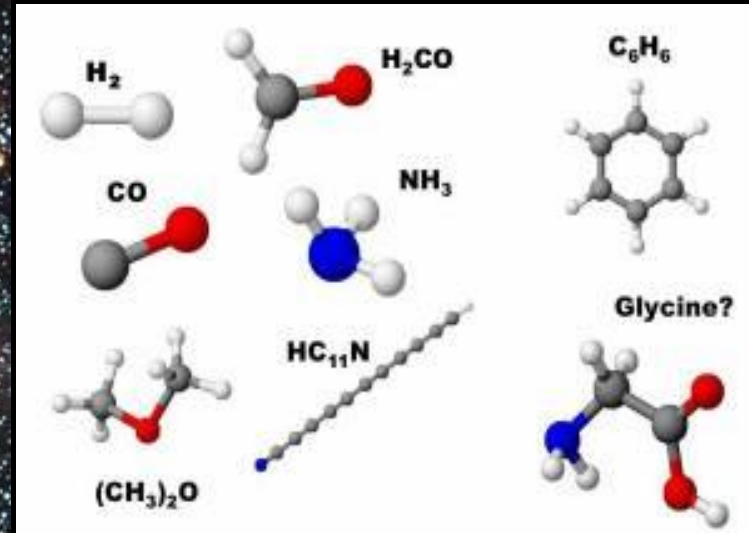
Grain
absorbs
energy





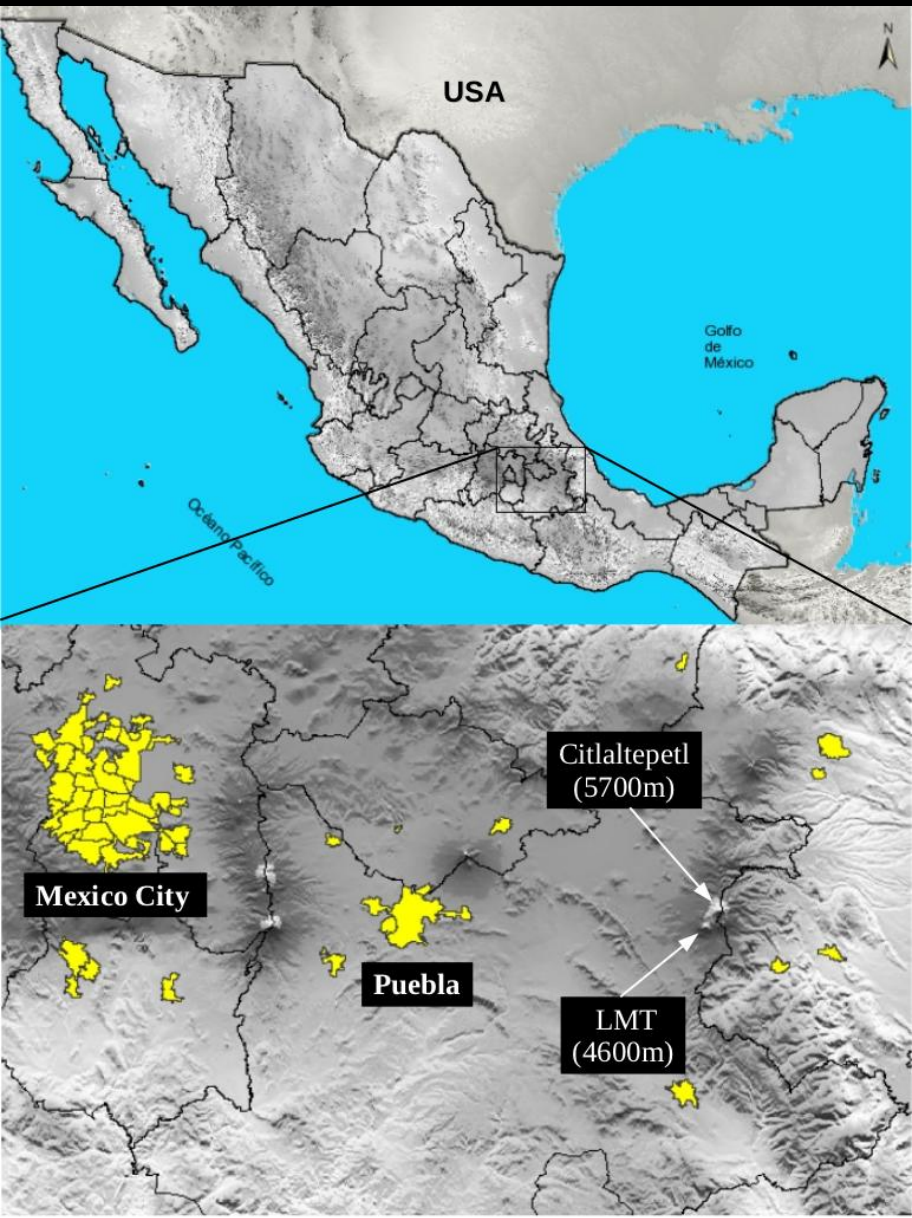
Formación de estrellas; M_J

$$M_J = \left(\frac{5kT}{Gm} \right)^{3/2} \left(\frac{3}{4\pi\rho} \right)^{1/2}$$



Las estrellas nacen en oscuras
nubes moleculares gigantes

El Gran Telescopio Milimétrico



El GTM



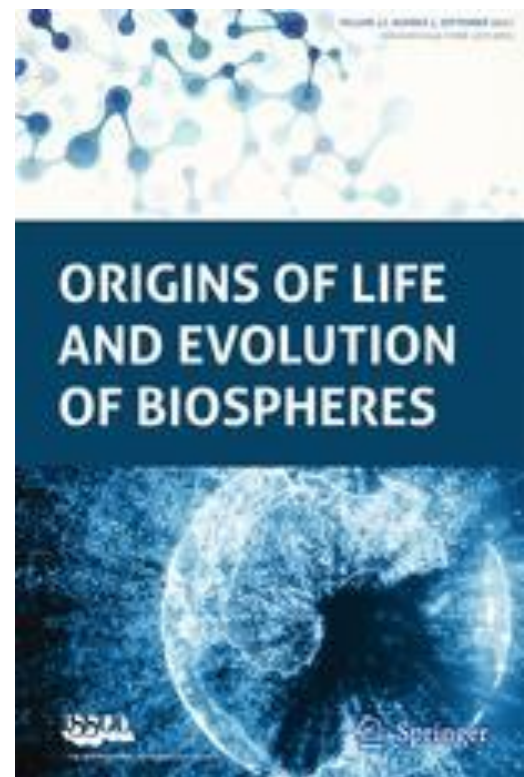
CONACYT / INAOE & UMass

- 50-m diámetro reflector primario
- $\lambda = 4\text{-}0.85\text{mm}$, 70 – 350 GHz
- Resolución angular: 4 - 20 arcsecs
- Volcán Sierra Negra, Puebla
- Altitud 4600m
- Latitud +19N
- 2000 toneladas!
- 2000 m²



The Large Millimeter Telescope/El Gran Telescopio Milimétrico: A New Instrument for Astrobiology

William M. Irvine et al. (2003)



67th International Astronautical Congress (IAC), Guadalajara, Mexico, 26-30 September 2016.
Copyright ©2016 by the International Astronautical Federation (IAF). All rights reserved.

IAC-16-34015

ASTROBIOLOGY WITH THE LARGE MILLIMETER TELESCOPE

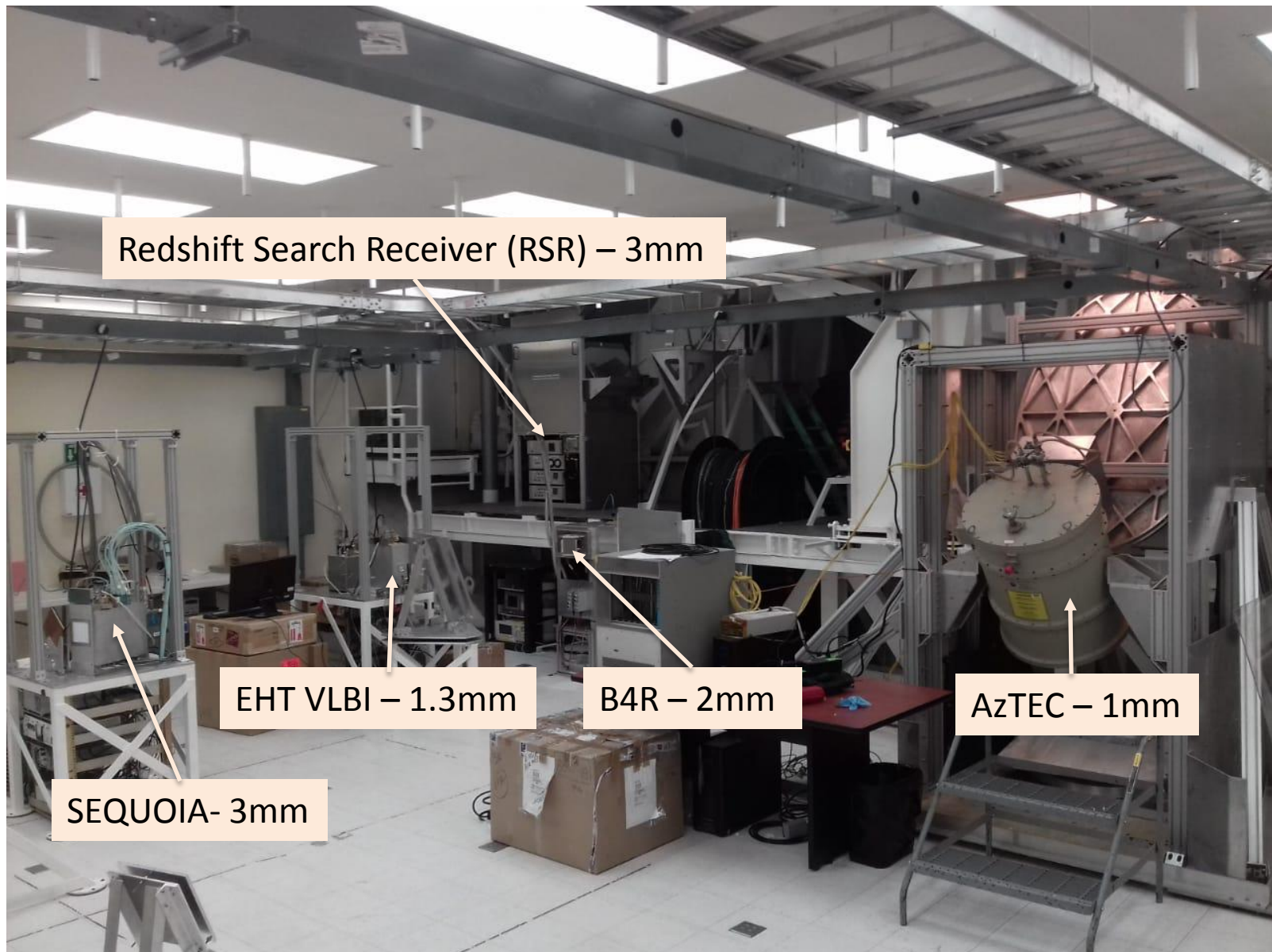
Miguel Chávez Dagostino^{a*}, Arturo Gomez Ruiz^a, David Hughes^a, Min Yun^b, F. Peter Schloerb^b, Gopal Narayanan^b, Grant Wilson^b, David Gale^a

^a Instituto Nacional de Astrofísica, Óptica y Electrónica, Luis Enrique Errol, Santa María Tonantzintla, Puebla 72840, México

^b Department of Astronomy University of Massachusetts, Amherst, MA 01003, United States of America

* Corresponding Author (mchavez@inaoep.mx)

LMT Receiver Room (100 m^2)

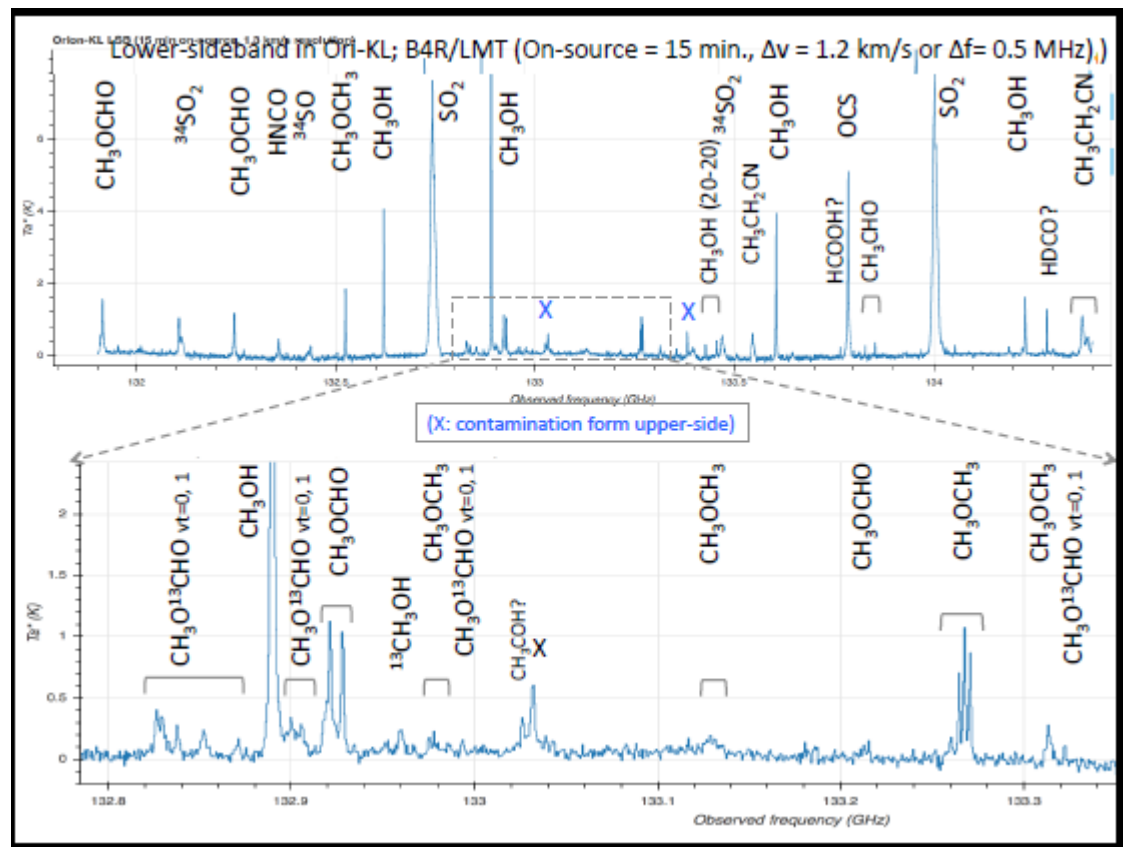
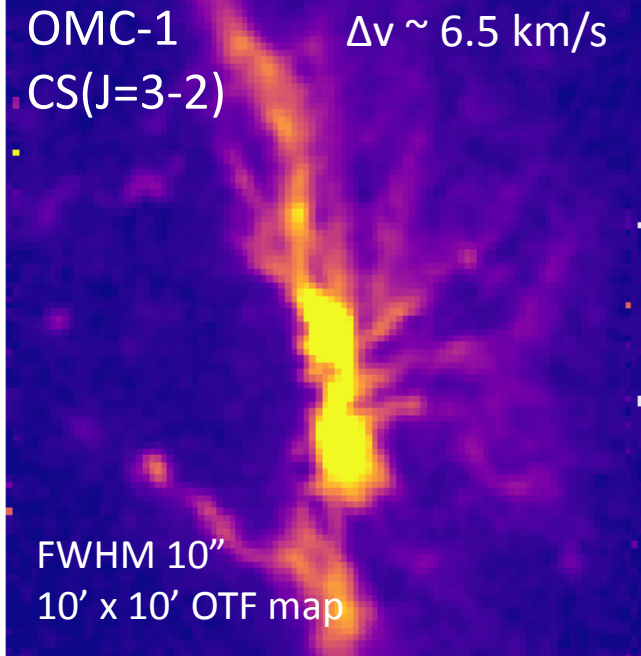


Molecule	Isotopomer or <i>v</i> -state	Number of Observed Transitions
SiS	SiS	2
	²⁹ SiS	2
	³⁰ SiS	2
	Si ³⁴ S	2
	Si ³³ S	2
	²⁹ Si ³⁴ S	2
	³⁰ Si ³⁴ S	1
	SiS <i>v</i> = 1	2
	SiS <i>v</i> = 2	2
	SiS <i>v</i> = 3	1
SiO	SiO	1
	²⁹ SiO	1
	³⁰ SiO	1
SiC	SiC	3
SiN	SiN	5
SiC ₂	SiC ₂	12
SiC ₂	SiC ₂ <i>v</i> ₃ = 1	2
	²⁹ SiC ₂	11
	³⁰ SiC ₂	8
	Si ¹³ CC	16
SiC ₃	SiC ₃	5
ClNa	ClNa	4
	³⁷ ClNa	2
CIK	CIK	4

Molecule	Isotopomer or <i>v</i> -state	Number of Observed Transitions
CP	CP	4
PN	PN	1
CS	CS	1
	CS <i>v</i> = 1	1
	¹³ CS	1
	C ³⁴ S	1
	C ³³ S	1
	¹³ C ³⁴ S	1
C ₂ S	C ₂ S	8
C ₃ S	C ₃ S	5
	C ₃ ³⁴ S	1
H ₂ S	H ₂ S	1

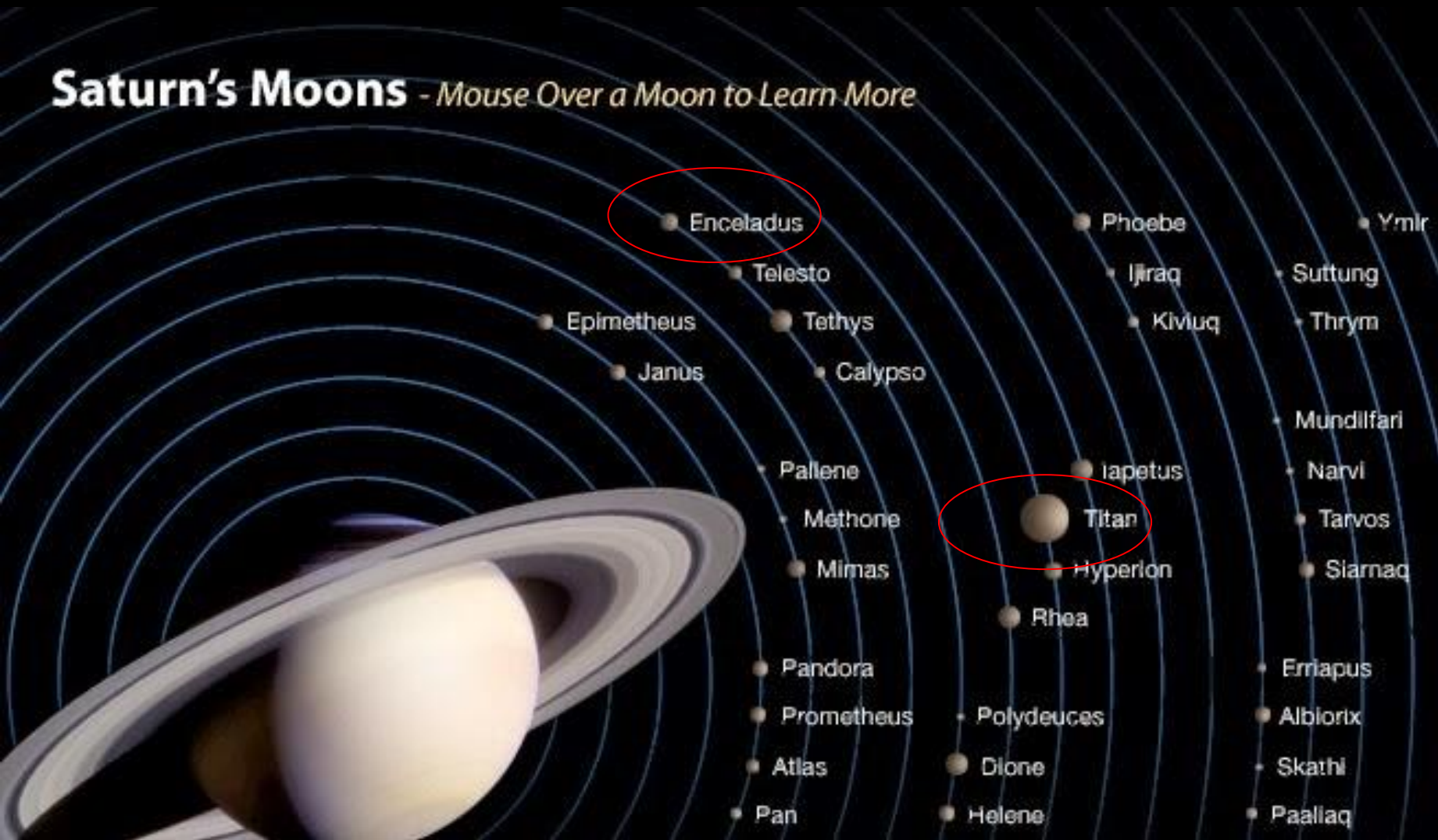
B4R: 125 – 163 GHz
Resolution: 0.19 km/s or 88.5
KHz at 140 GHz.

Velocity-Integrated Intensity Map



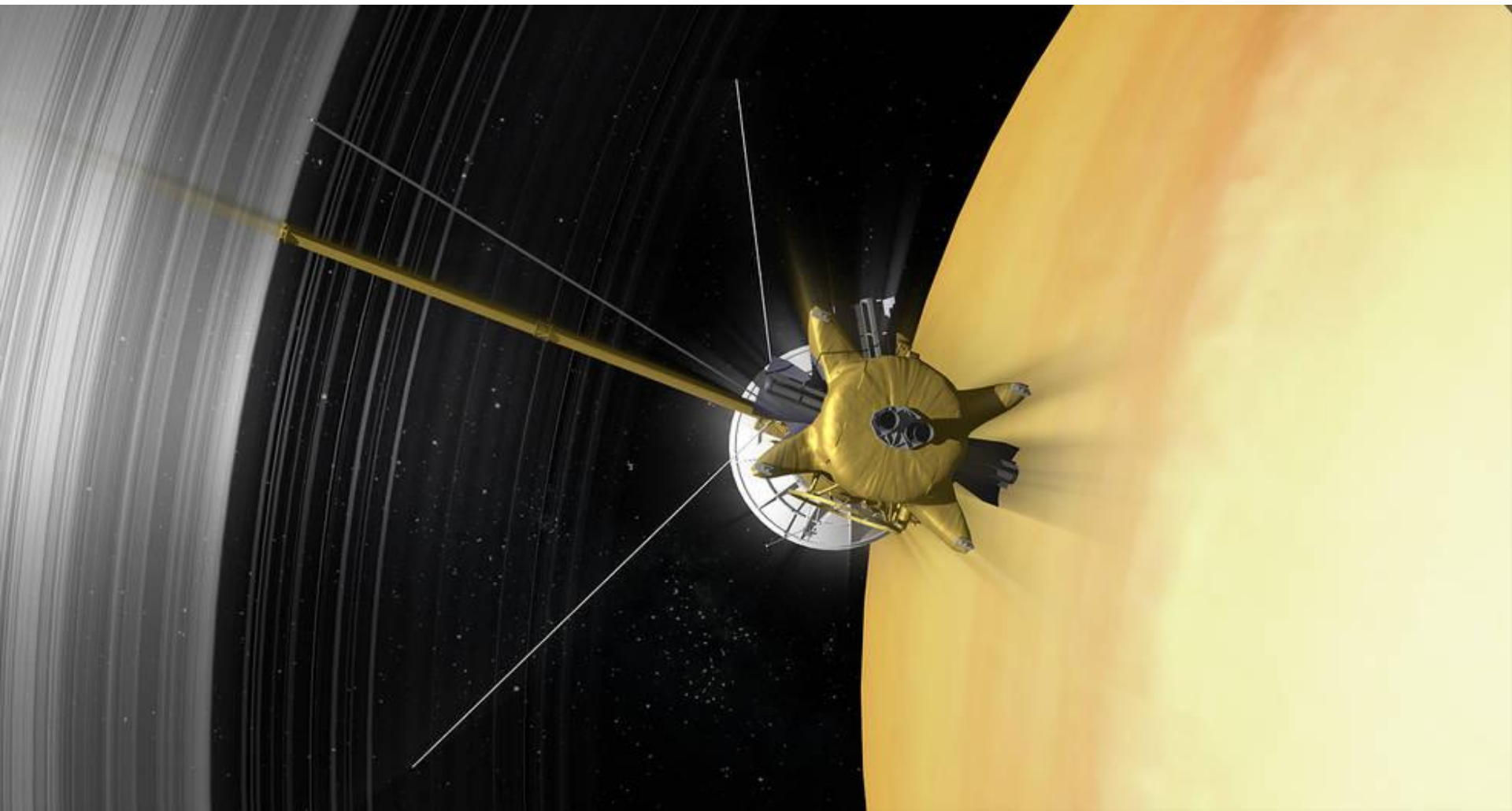
La familia de Saturno (+62 lunas)

Saturn's Moons - Mouse Over a Moon to Learn More



La Misión Cassini

(1997-2017)



Searching for biomarkers



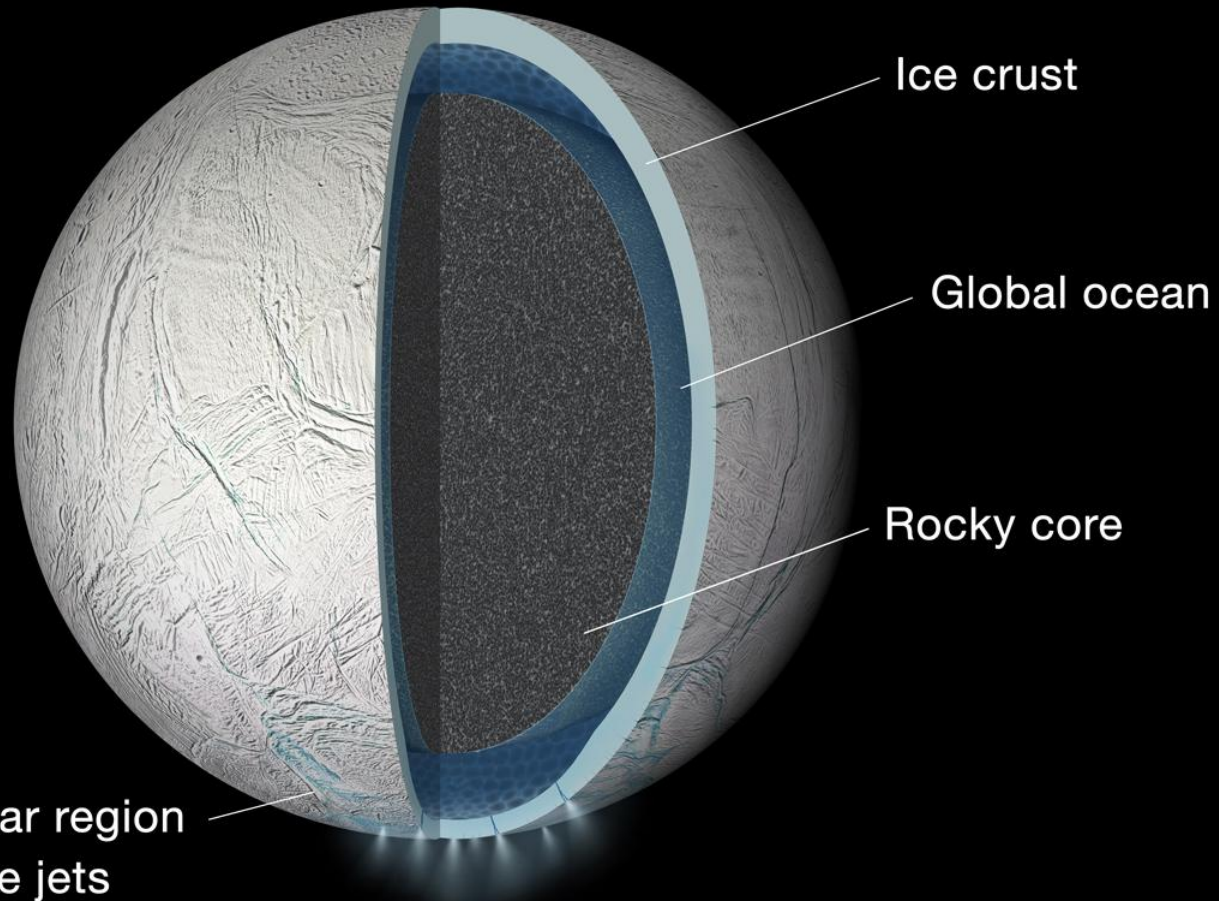
Encelado: Plumás de gas!



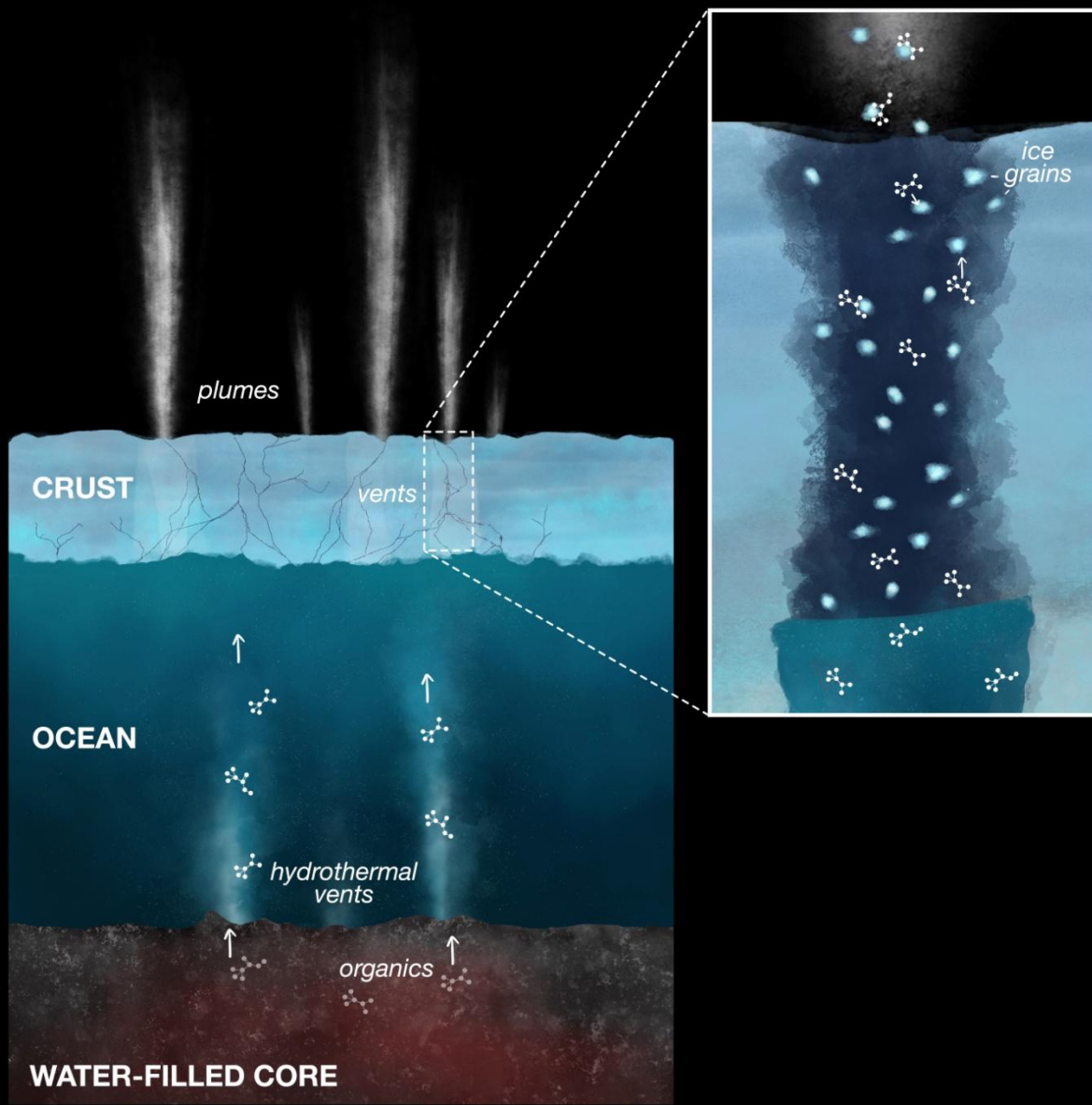
Enceladus

Cassini (INMS+UVS)

Global Ocean on
Saturn's Moon
ENCELADUS



ORGANICS CONDENSE
ONTO ICE GRAINS

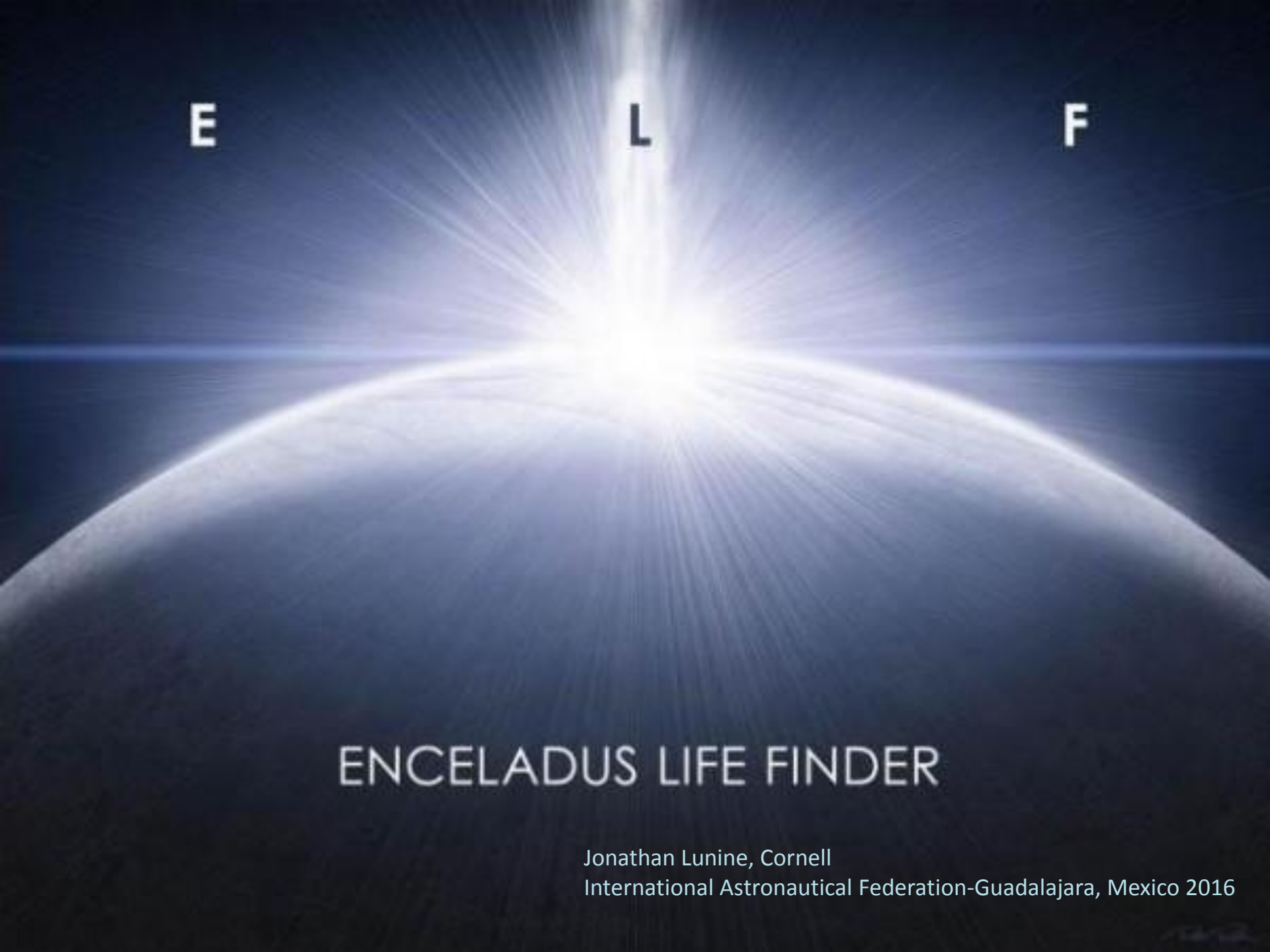


ENCELADUS

Table 1 | INMS determination of plume composition on 9 October 2008

Species	Volume mixing ratio
H ₂ O	0.90 ± 0.01
CO ₂	0.053 ± 0.001
CO	[0.044]
H ₂	[0.39]
H ₂ CO	(3.1 ± 1) × 10 ⁻³
CH ₃ OH	(1.5 ± 0.6) × 10 ⁻⁴
C ₂ H ₄ O	< 7.0 × 10 ⁻⁴
C ₂ H ₆ O	< 3.0 × 10 ⁻⁴
H ₂ S	(2.1 ± 1) × 10 ⁻⁵
⁴⁰ Ar	(3.1 ± 0.3) × 10 ⁻⁴
NH ₃	(8.2 ± 0.2) × 10 ⁻³
N ₂	< 0.11
HCN	< 7.4 × 10 ⁻⁵
CH ₄	(9.1 ± 0.5) × 10 ⁻³
C ₂ H ₂	(0.2 ± 0.1) × 10 ⁻³
C ₂ H ₄	< 0.62
C ₂ H ₆	< 1.7 × 10 ⁻³
C ₃ H ₄	< 1.1 × 10 ⁻⁴
C ₃ H ₆	(1.4 ± 0.3) × 10 ⁻³
C ₃ H ₈	< 1.4 × 10 ⁻³
C ₄ H ₂	(3.7 ± 0.8) × 10 ⁻⁵
C ₄ H ₄	(1.5 ± 0.6) × 10 ⁻⁵
C ₄ H ₆	(5.7 ± 3) × 10 ⁻⁵
C ₄ H ₈	(2.3 ± 0.3) × 10 ⁻⁴
C ₄ H ₁₀	< 7.2 × 10 ⁻⁴
C ₅ H ₆	< 2.7 × 10 ⁻⁶
C ₅ H ₁₂	< 6.2 × 10 ⁻⁵
C ₆ H ₆	(8.1 ± 1) × 10 ⁻⁵

Agua
Componentes orgánicos
Fuente de energía!



E

L

F

ENCELADUS LIFE FINDER

Jonathan Lunine, Cornell

International Astronautical Federation-Guadalajara, Mexico 2016

E

L

F

Rejected!

ENCELADUS LIFE FINDER

Jonathan Lunine, Cornell

International Astronautical Federation-Guadalajara, Mexico 2016

Observable molecules with the LMT

@3, and 1mm (SEQUOIA and 1mm receiver, 85-115.6GHz, 210-280GHz)

Based on the mass fractions of Waite et al. 2009), a column density of water of Hansen et al. (2011-UVS; $N_{H_2O} = 1 \times 10^{16} \text{ cm}^{-2}$) and assuming LTE and optically thin transitions, we find that:

H_2CO , CO, CH_3OH , H_2S , HCN, CH_3CCH (C_3H_4), and H_2O

are detectable down to an rms ~ 0.15 mK (O. Vega)

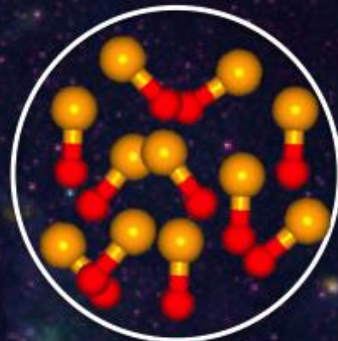
+PO!

Molecule	MHz	transition	T_R
<hr/>			
H_2CO			
	218222.195	*3(0,3)-2(0,2)	4.0
	225697.781	*3(1,2)-2(1,1)	5.0
<hr/>			
CO			
	115271.202	1-0	60.0
	230538.000	2-1	70.0
<hr/>			
CH_3OH			
	107013.770	*3(1,3)-4(0,4) A++	4.5
	229758.811	*8(-1,8)-7(0,7) E	10.6
	240938.94	*5(0,5)-4(0,4) A++ $t=2$	10.3
	240952.07	*5(2,4)-4(2,3) E $t=2$	10.5
	250924.342	*11(3,8)-11(2,9) A-+	50.1
	252252.807	*10(3,8)-10(2,9) A-+	55.9
<hr/>			
H_2S			
	216710.437	*2(2,0)-2(1,1)	0.32
<hr/>			
HCN			
	88631.8473	*1-0 F=2-1	17.2
	265886.431	*3-2	20.
<hr/>			
C_3H_4			
	102546.023	*6(1)-5(1)	0.29
	102547.983	*6(0)-5(0)	0.33
<hr/>			
H_2O			
	183310.087	*3(1,3)-2(2,0)	10. 0

And so on.....

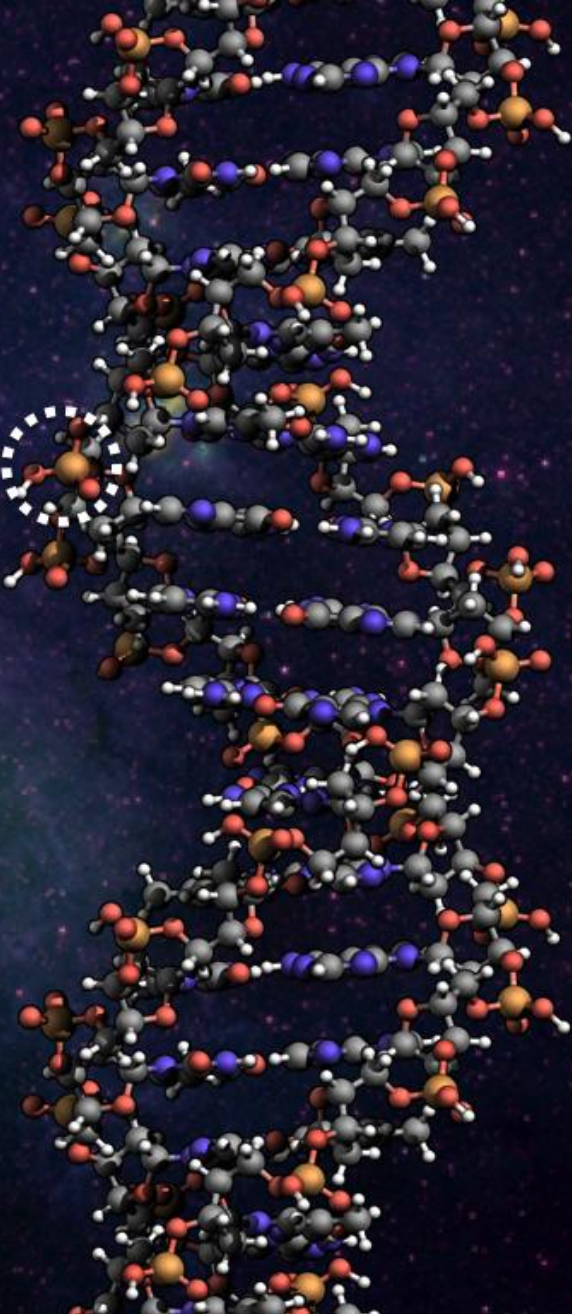


Image credit: Victor M. Rivilla / Adam Ginsburg / Richard Wheeler



W51 e2

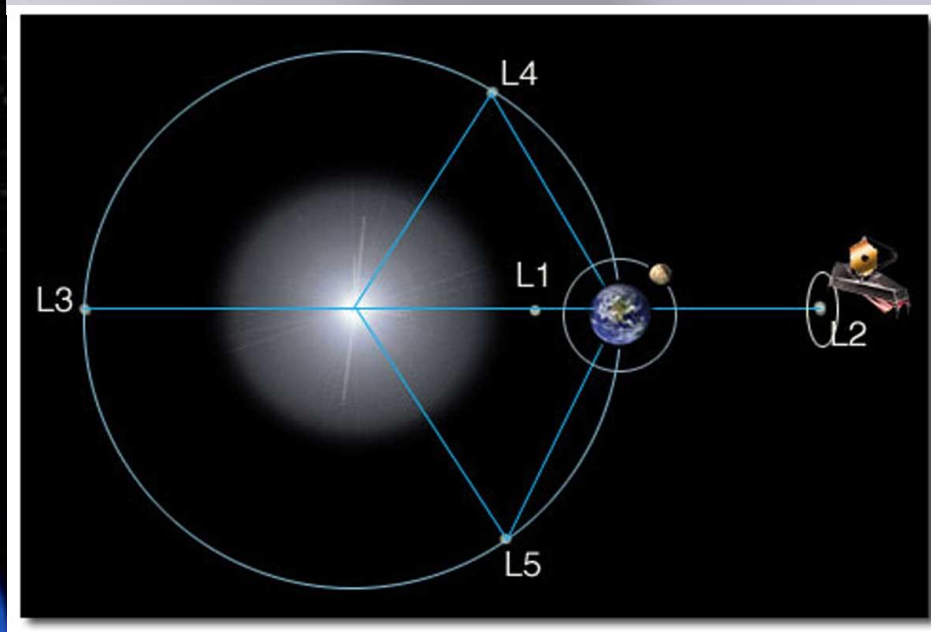
Point 2



First detections of PO towards star-forming regions

Rivilla et al. (2016)

- Hydrogen
- Oxygen
- Nitrogen
- Carbon
- Phosphorus

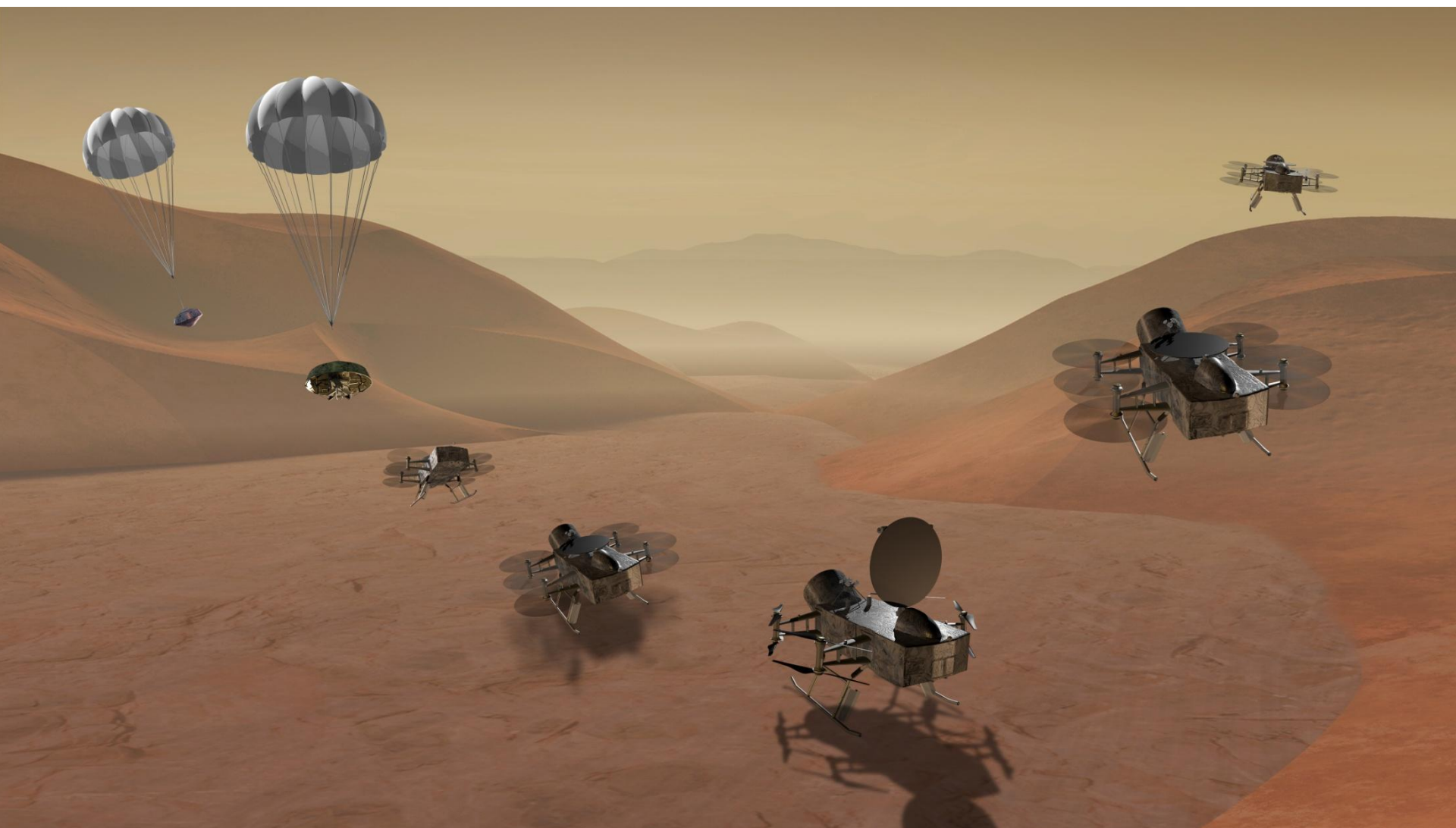


LUVOIR

TITAN



Dragonfly: Aceptado-28 junio 2019!





MEMORIE DELLA
SOCIETÀ ASTRONOMICA ITALIANA
JOURNAL OF THE ITALIAN ASTRONOMICAL SOCIETY

Vol.90 - N°4 - 2019

New quests in stellar astrophysics IV
astrochemistry, astrobiology and the origin of life
Puerto Vallarta, Mexico, March 31st - April 5th, 2019
Edited by: M. Chávez Dagostino, E. Bertone, O. Vega and R. M. Chávez Dagostino



Gracias!

